

ПОЛЯРИЗАЦИОННАЯ ФОТОЧУВСТВИТЕЛЬНОСТЬ АНИЗОТИПНЫХ СТРУКТУР $n\text{-SnO}_2-p\text{-CdGeP}_2\langle\text{Ga}\rangle$

Лунев А. В., Рудь Ю. В., Таиров М. А., Ундалов Ю. К.

Соединение CdGeP₂ интенсивно изучается в связи с возможностями его применения в поляриметрических фотодетекторах [1, 2]. До настоящего времени широко изучены изотипные гетероструктуры на основе широкозонных окислов и кристаллов CdGeP₂ *n*-типа проводимости [3]. В последнее время

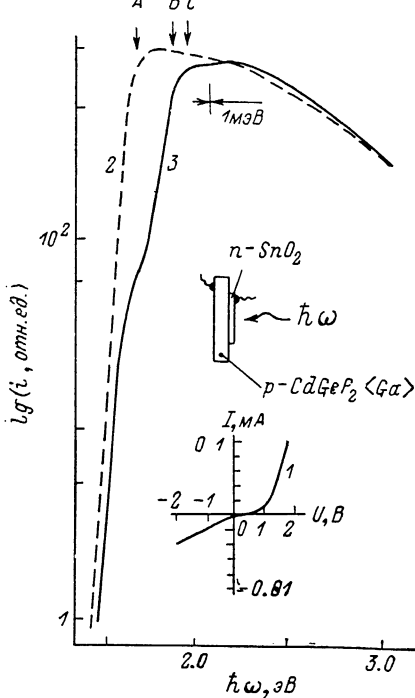


Рис. 1. Темновая вольтамперная характеристика (1) и спектры фототока (2, 3) гетероперехода $n\text{-SnO}_2-p\text{-CdGeP}_2\langle\text{Ga}\rangle$.

$T=300$ К. 2 — $E \perp c$, 3 — $E \parallel c$. Схема освещения дана на вставке; пучок линейно-поляризованного света падает вдоль нормали к освещаемой поверхности ГП; гетерограница ориентирована в плоскости (100) CdGeP₂.

нами выращены наиболее легированные кристаллы *p*-типа за счет введения в CdGeP₂ примеси Ga, и в данной работе рассмотрены поляриметрические свойства структур на основе таких кристаллов.

Гетероструктуры получены известным методом реактивного распыления слоев SnO₂ на ориентированные в плоскости (100) монокристаллы *p*-CdGeP₂ с концентрацией дырок $\sim 10^{17}$ см⁻³ и подвижностью ~ 5 см²/В·с при 300 К. Омический контакт с *p*-CdGeP₂ создавался осаждением меди. Такие структуры обладали четким выпрямлением (рис. 1), которое при $U \approx 2$ В достигает 30—50%. Пропускное направление соответствует отрицательной полярности внешнего смещения на слое *n*-SnO₂, что соответствует ожидаемому из гипотетической диаграммы данной гетеропары. Прямая ветвь характеризуется напряжениями

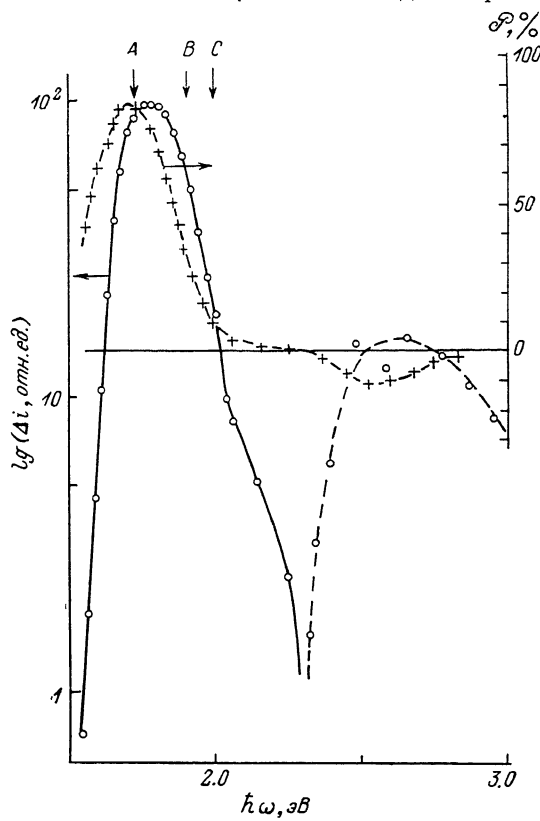


Рис. 2. Спектры поляризационной разности фототока ($\Delta i = i^\uparrow - i^\downarrow$) и коэффициента естественного фотоплеохроизма [$\varphi = (i^\uparrow - i^\downarrow)/(i^\uparrow + i^\downarrow) \cdot 100\%$] гетероперехода $n\text{-SnO}_2-p\text{-CdGeP}_2\langle\text{Ga}\rangle$.

отсечки $\simeq 1$ В и остаточным сопротивлением $\simeq (1 \div 3) \cdot 10^3$ Ом (300 К). Обратный ток плавно растет с ростом напряжения по закону $\sim U$.

При освещении со стороны слоя фоточувствительность структуры максимальна и достигает $\sim 10^3$ В/Вт при 300 К, слой заряжается отрицательно и знак фотонаржения холостого хода U_{xx} не зависит от места попадания излучения на активную область и энергии фотонов. Для типичных структур при потоках $L \simeq 2$ мВт/см² $U_{xx} \simeq 20 \div 40$ мВ и фототок короткого замыкания $i_{k3} = 1 \div 1.5$ мА (300 К). Спектры фототока для типичной структуры приведены на рис. 1. Из рис. 1 следует, что максимальная фоточувствительность в поляризации $E \parallel c$ достигается вблизи энергии A -перехода [2] и сохраняется на этом уровне в области 1.7—2.5 эВ, тогда как в поляризации $E \perp c$ максимальный фототок достигается вблизи энергии B - и C -переходов. Во всех полученных структурах фоточувствительность в глубине фундаментального поглощения при $\hbar\omega > 2.5$ эВ обнаруживает заметный спад, что обусловлено рекомбинацией носителей на граничных состояниях. В целом следует подчеркнуть, что влияние поляризации на спектры фототока имеет те же закономерности, как и для изотипных гетероструктур [3]. Крутизна длинноволнового края фототока имеет характерное для прямых переходов значение $\simeq 30 \div 50$ эВ. Как и в случае гетероструктур на основе $CdGeP_2\langle In \rangle$, спектральное положение экспоненциального края гетероструктур, созданных на кристаллах $CdGeP_2\langle Ga \rangle$, несколько смещено (на $\sim 30 \div 40$ мэВ) в длинноволновую область относительно нелегированных образцов. Это может быть обусловлено образованием в $CdGeP_2$ при легировании примесью Ga мелких акцепторов. Последнее согласуется с данными измерений коэффициента Холла и спектров фотолюминесценции.

Численные параметры естественной поляризационной фоточувствительности типичных структур $n\text{-SnO}_2-p\text{-CdGeP}_2\langle Ga \rangle$ представлены на рис. 2. Коэффициент фотоплеохроизма достигает своего максимального значения $\mathcal{P}^m \simeq 83 \div 85$ % вблизи энергии A -перехода. Следовательно, легирование галлием не снижает значения \mathcal{P}^m . Спектральный контур фотоплеохроизма также имеет типичный для нелегированного вещества вид: коротковолновый спад определяется переходами из отщепленных валентных зон, а наблюдаемая для многих структур инверсия знака на отрицательный сопутствует коротковолновому спаду фототока и может быть приписана усилинию влияния рекомбинационных потерь. Спектр поляризационной разности фототока полученных структур несколько смещен относительно спектра \mathcal{P} в коротковолновую область, и максимум $\Delta\mathcal{P}$ проявляется вблизи энергии A -переходов. Резкий коротковолновый спад и инверсия Δi , наблюдавшиеся в большинстве структур, имеют ту же природу, которая разобрана выше для фотоплеохроизма.

Таким образом, полученные результаты показывают, что на основе легированных галлием кристаллов $CdGeP_2$ могут быть созданы поляриметрические гетероструктуры, обладающие высокими поляризационными параметрами в области энергии межзонных A -переходов в $CdGeP_2$. Легирование галлием представляет интерес с точки зрения повышения токов короткого замыкания за счет снижения сопротивления тройного фосфида.

Л и т е р а т у р а

- [1] Прочухан В. Д., Рудь Ю. В. — ФТП, 1978, т. 12, в. 2, с. 209—233.
- [2] Рудь Ю. В. — Изв. вузов СССР, Физика, 1986, т. 29, в. 8, с. 68—83.
- [3] Лунев А. В., Рудь Ю. В., Таиров М. А., Ундалов Ю. К. — Препринт ФТИ АН СССР, № 1147. Л., 1987. 57 с.

Физико-технический институт
им. А. Ф. Иоффе АН СССР
Ленинград

Получено 18.11.1987
Принято к печати 17.12.1987